

## 2. フラットスラブに生ずる曲げモーメントの種々の性質について

金沢大学工学部

小野一良

著者はすでに数回土木学会年次学術講演会または応用力学連合講演会においてフラットスラブが一様な分布荷重を受けた場合およびすべての柱から等しい大きさのモーメントを受けた場合にフラットスラブに生ずる曲げモーメントを橿円函数を用いて解く方法を説明した。

これらの曲げモーメントの間に何らかの関係が成立するので、この関係を使えば曲げモーメントの計算その他に便利である。

次にその数例を示す。

計算の便宜上次式による  $M_1, M_2, M_3$  を用いてフラットスラブに生ずる曲げモーメントおよび捩りモーメントをめらわす。今後は  $M_1, M_2, M_3$  も曲げモーメントと呼ぶことにする。

$$\left. \begin{aligned} M_1 &= -\frac{D}{2} \left( \frac{\partial^2 w}{\partial x^2} + \frac{\partial^2 w}{\partial y^2} \right) \\ M_2 &= -\frac{D}{2} \left( \frac{\partial^2 w}{\partial x^2} - \frac{\partial^2 w}{\partial y^2} \right) \\ M_3 &= -D \frac{\partial^2 w}{\partial x \partial y} \end{aligned} \right\} \quad (1)$$

$$\left. \begin{aligned} M_x &= (\nu + 1) M_1 + (1 - \nu) M_2 \\ M_y &= (\nu + 1) M_1 - (1 - \nu) M_2 \\ M_{xy} &= (1 - \nu) M_3 \end{aligned} \right\} \quad (2)$$

柱の間隔が  $\alpha$  および  $\beta$  となるフラットスラブに一様な分布荷重が作用した場合にスラブ上の  $(x, y)$  点に生ずる曲げモーメントは次式によってめらわされる。

$$M_j = \frac{P}{4\pi} U_j (\frac{x}{\alpha}, \frac{y}{\beta}; \alpha, \beta) \quad \text{ただし } j = 1, 2, 3 \quad (3)$$

$$\left. \begin{aligned} P = \frac{\lambda}{2a}, \quad \xi = \frac{x}{2a}, \quad \eta = \frac{y}{2a}, \\ t = \frac{h}{a}, \quad \alpha = \frac{\pi x^2}{4ah} \end{aligned} \right\} \quad \text{---(4)}$$

$\lambda$  は柱の半径であり、 $\alpha$  はスラブが柱から受けた反力の分布型式によって定まる常数である。 $U_1, U_2$  は  $\xi, \eta$  について偶函数となり、 $U_3$  は  $\xi, \eta$  について奇函数となることは容易に了解される。

フラットスラブが図-1の○で示す柱によって支えられ、 $P/4ah$  なる分布荷重を受けている場合に A 点に生ずる曲げモーメントは  $x, y$  なる座標軸を用いれば、

$$M_f = \frac{P}{4\pi} U_f (\xi, \frac{1}{2}; t, \alpha) \quad \text{---(5)}$$

によって表わされる。同様にして ● で示す柱によって支えられ、

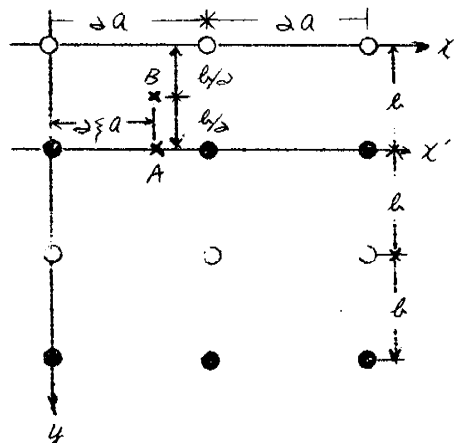


図 - 1

$P/4ah$  なる分布荷重を受けている場合に A 点に生ずる曲げモーメントは  $x'$ ,  $y'$  なる座標軸を用いれば

$$M_f = \frac{P}{4\pi} U_f (\xi, 0; t, \alpha) \quad \text{---(6)}$$

によって表わされる。最後にすべての柱で支えられ、 $P/2ah$  なる分布荷重を受けたフラットスラブの A 点に生ずる曲げモーメントは  $x'$ ,  $y'$  なる座標軸を用いれば

$$M_f = \frac{P}{4\pi} U_f (\xi, 0; \frac{t}{2}, \alpha) \quad \text{---(7)}$$

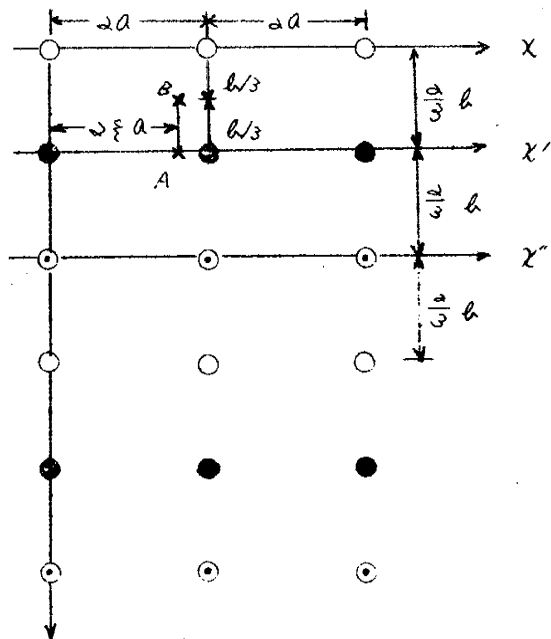
によって表わされる。これは (5) および (6) 式で示す曲げモーメントの和に一致するはずであるから次式が導かれる。

$$U_j(\xi, \frac{t}{\omega}; t, \alpha k) = U_j(\xi, 0; \frac{t}{\omega}, \alpha k) - U_j(\xi, 0; t, \alpha k)$$

ただし  $j = 1, 2, 3$  ..... (8)

次にフラットスラブが図-2の○で示す柱によって支えられ、  
 $P/4a$  & なる分布荷重を受けている場合に A 点に生ずる曲げモーメントは  $\gamma$  なる座標軸を用いれば

$$M_f = \frac{P}{4\pi} V_f (\xi, \frac{t}{3}; t, \alpha_F) \dots \dots \dots (9)$$



四二

- で示す柱によって支えられ.  
 $P/4a$  なる分布荷重を受け  
 ている場合に A 点に生ずる曲  
 げモーメントは  $x', y'$  なる座  
 標軸を用いれば

$$M_j = \frac{\rho}{4\pi} U_j(\xi, 0; t, \alpha, k) \quad \dots \quad (10)$$

①で示す柱によって支えられ、  
 $P/4a$ なる分布荷重を受け  
 ている場合にA点に生ずる曲  
 げモーメントは  $x^2, y$ なる座  
 標軸を用いれば

$$M_j = \frac{\rho}{4\pi} V_j (\xi, -\frac{1}{3}; t, \omega k)$$

○, ● および ○ で示す柱によって支えられ, 3P/4a なる分布荷重を受けている場合に A 点に生ずる曲げモーメントは  $x', y$  なる座標軸を用いれば

$$M_j = \frac{\rho}{4\pi} U_j(\xi, 0; \frac{x}{3}, 3\alpha k) \quad \dots \dots \quad (2)$$

(ii) 式による  $M_j$  は (9), (10), (11) 式の和に一致すること、および

$j = 1, 2$  のときに  $U_j(\xi, \gamma; t, \alpha_k)$  は  $\gamma$  に関する偶函数であることに注意すれば次式が導かれる。

$$U_j(\xi, \frac{t}{3}; t, \alpha_k) = \frac{1}{2} U_j(\xi, 0; \frac{t}{3}, \alpha_k) - \frac{1}{2} U_j(\xi, 0; t, \alpha_k) \quad \dots \dots (13)$$

ただし  $j = 1, 2$ .

同様にして図一ノにおけるB点に生ずる曲げモーメントを二通りの方法で求めることにより次式が得られる。

$$U_j(\xi, \frac{t}{2}; t, \alpha_k) = \frac{1}{2} U_j(\xi, \frac{t}{2}; \frac{t}{2}, \alpha_k) \dots \dots (14)$$

ただし  $j = 1, 2$ .

図一ノにおけるB点に生ずる曲げモーメントより

$$U_j(\xi, \frac{t}{2}; t, \alpha_k) = \frac{1}{2} U_j(\xi, \frac{t}{2}; \frac{t}{3}, \alpha_k) - \frac{1}{2} U_j(\xi, \frac{t}{2}; t, \alpha_k) \quad \dots \dots (15)$$

ただし  $j = 1, 2$ .

以上の諸式を用いれば  $\gamma = \frac{1}{2}, \frac{1}{3}, \frac{1}{4}, \frac{1}{6}$  となるときの

$U_1(\xi, \gamma; t, \alpha_k)$  および  $U_2(\xi, \gamma; t, \alpha_k)$  は

$\gamma = 0$  の場合より説明されることがわかる。したがって  $\gamma = 0$  のときには  $U_1$  および  $U_2$  は容易に計算を行なうことができる。

特に  $t = 1$  となるときは

$$U_j(\xi, \gamma; 1, \alpha_k) = -(-1)^j U_j(\gamma, \xi; 1, \alpha_k) \dots \dots (16)$$

ただし  $j = 1, 2, 3$ .

図一ノにおいてフラットスラブがOで示す柱によって支えられ、

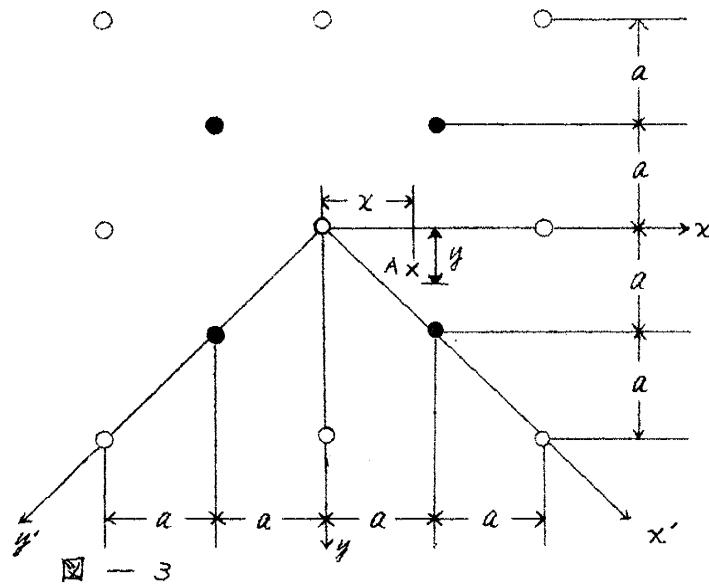


図 - 3

$P/4a$  なる分布荷重を受けている場合に A 点に生ずる曲げモーメントは  $x, y$  なる座標を用いれば

$$M_f = \frac{P}{4\pi} U_f (\xi, \gamma; 1, \alpha_k) \quad \dots \dots \dots (17)$$

$$\text{ただし, } \xi = \frac{x}{a}, \gamma = \frac{y}{a}$$

同様にして ● で示す柱によって支えられ,  $P/2a$  なる分布荷重を受けている場合に A 点に生ずる曲げモーメントは

$$M_f = \frac{P}{4\pi} U_f (\xi - \frac{1}{2}, \gamma - \frac{1}{2}; 1, \alpha_k) \quad \dots \dots \dots (18)$$

○および ● で示す柱によって支えられ,  $P/2a$  なる分布荷重を受けている場合に A 点に生ずる曲げモーメントは  $x', y'$  なる座標軸を用いれば

$$M'_f = \frac{P}{4\pi} U_f (\xi', \gamma'; 1, \alpha_k) \quad \dots \dots \dots (19)$$

$$\text{ここで } \xi' = \xi + \gamma, \gamma' = -\xi + \gamma \quad \dots \dots \dots (20)$$

$x', y'$  軸に関する曲げモーメントと  $x, y$  軸に関する曲げモーメ

ントとの間に次の関係がある。

$$M' = M_1, \quad M'_2 = M_3, \quad M'_3 = -M_2 \quad \dots \dots \dots \quad (21)$$

(17) および (18) 式によって計算した曲げモーメントの和は (19) 式に一致することを要するため次式が導かれる。

$$\begin{aligned} U_1(\xi + \gamma, -\xi + \gamma; 1, \alpha k) \\ = U_1(\xi, \gamma; 1, \alpha k) + U_1(\xi - \frac{\gamma}{2}, \gamma - \frac{\gamma}{2}; 1, \alpha k) \\ U_2(\xi + \gamma, -\xi + \gamma; 1, \alpha k) \\ = U_2(\xi, \gamma; 1, \alpha k) + U_2(\xi - \frac{\gamma}{2}, \gamma - \frac{\gamma}{2}; 1, \alpha k) \\ U_3(\xi + \gamma, -\xi + \gamma; 1, \alpha k) \\ = -U_2(\xi, \gamma; 1, \alpha k) - U_2(\xi - \frac{\gamma}{2}, \gamma - \frac{\gamma}{2}; 1, \alpha k) \end{aligned} \quad \left. \right\} \quad (22)$$

これより

$$\begin{aligned} U_j(\xi, \gamma; 1, \alpha k) &= U_n\left(\frac{\xi + \gamma}{2}, \frac{\xi - \gamma}{2}; 1, \frac{\alpha k}{2}\right) \\ &+ U_n\left(\frac{1-\xi-\gamma}{2}, \frac{1-\xi+\gamma}{2}; 1, \frac{\alpha k}{2}\right) \end{aligned} \quad \dots \dots \dots \quad (23)$$

$$\begin{array}{lll} \text{EEU} & j = 1 & n = 1, \\ & j = 2 & " \quad n = 3, \\ & j = 3 & " \quad n = 2. \end{array} \quad \left. \right\} \quad \dots \dots \dots \quad (24)$$

フラットスラブがすべての柱から  $-y$  方向を軸とする T なるモーメントを受けた場合にスラブ上の  $(x, y)$  点に生ずる曲げモーメントは次式によってあらわされる。

$$M_j = \frac{T}{8\pi a} V_j(\xi, \gamma; x, \beta k) \quad \dots \dots \dots \quad (25)$$

$$\text{EEU} \quad j = 1, 2, 3$$

$$\xi = \frac{x}{2a}, \quad \gamma = \frac{y}{2a}, \quad x = \frac{b}{a}, \quad k = \frac{\pi D^2}{4ab} \quad \dots \dots \dots \quad (26)$$

$\beta$ は柱からスラブが受けるモーメントの伝達の型式によって定まる常数である。 $V_1, V_2$  は  $\xi$  について奇函数となり、 $\gamma$  について偶函数となる。 $V_3$  は  $\xi$  について偶函数となり、 $\gamma$  について奇函数となる。

$U, U_0$  と同様にして  $\gamma$

$$\gamma = \frac{1}{3}, \frac{1}{3}, \frac{1}{4}, \frac{1}{6} \text{ となるとき}$$

$V(\xi, \gamma; t, \beta \tau)$  および  $V_3(\xi, \gamma; t, \beta \tau)$  の値は  $\gamma = 0$  の場合より誘導することができます。

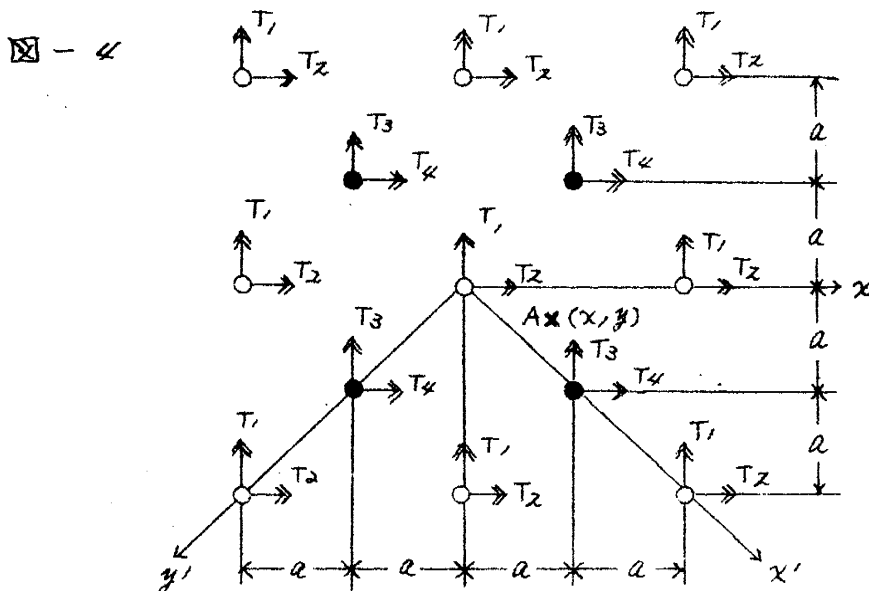


図-44において  $T_1$  によって  $A$  点に生ずる曲げモーメント  $M_1$  は

$$\frac{T_1}{8\pi a} V_1(\xi, \gamma; 1, \beta \tau) \quad \dots \dots \dots \quad (47)$$

$T_2$  によって  $A$  点に生ずる曲げモーメント  $M_2$  は

$$\frac{T_2}{8\pi a} V_1(\gamma, -\xi; 1, \beta \tau) = \frac{T_2}{8\pi a} V_1(\gamma, \xi; 1, \beta \tau) \quad (48)$$

$T_3$  によって A 点に生ずる曲げモーメント  $M_1$  は

$$\begin{aligned} & \frac{T_3}{8\pi a} V_1 \left( \xi - \frac{1}{2}, \eta - \frac{1}{2}; 1, \beta k \right) \\ & = - \frac{T_3}{8\pi a} V_1 \left( \frac{1}{2} - \xi, \frac{1}{2} - \eta; 1, \beta k \right) \quad \dots \dots (29) \end{aligned}$$

$T_4$  によって A 点に生ずる曲げモーメント  $M_1$  は

$$\begin{aligned} & \frac{T_4}{8\pi a} V_1 \left( \eta - \frac{1}{2}, -\xi + \frac{1}{2}; 1, \beta k \right) \\ & = - \frac{T_4}{8\pi a} V_1 \left( \frac{1}{2} - \eta, \frac{1}{2} - \xi; 1, \beta k \right) \quad \dots \dots (30) \end{aligned}$$

$T_1 = T_2 = T_3 = T_4$  とすればすべての柱に  $-y'$  の方向を軸とした  $\sqrt{2}T$  なるモーメントが作用することになる。

このモーメントによって A 点に生ずる曲げモーメント  $M_1$  は

$$\begin{aligned} & \frac{\sqrt{2}T}{4\sqrt{2}\pi a} V_1 (\xi', \eta'; 1, \beta k) \quad \dots \dots \dots \dots \dots \dots \dots (31) \\ & \text{ただし } \xi' = \xi + \eta, \quad \eta' = -\xi + \eta \quad \dots \dots \dots \dots \dots \dots \dots (32) \end{aligned}$$

これはさきの 4 個の曲げモーメント  $M_1$  の和に一致するはずであるから

$$\begin{aligned} & \Rightarrow V_1 (\xi + \eta, -\xi + \eta; 1, \beta k) \\ & = V_1 (\xi, \eta; 1, \beta k) + V_1 (\eta, \xi; 1, \beta k) \\ & - V_1 \left( \frac{1}{2} - \xi, \frac{1}{2} - \eta; 1, \beta k \right) \\ & - V_1 \left( \frac{1}{2} - \eta, \frac{1}{2} - \xi; 1, \beta k \right) \quad \dots \dots \dots \dots \dots \dots \dots (33) \end{aligned}$$

同様にして

$$\begin{aligned} & -T_1 = T_2 = -T_3 = T_4 = T \text{ となる場合より} \\ & \Rightarrow V_1 (-\xi + \eta, \xi + \eta; 1, \beta k) \\ & = -V_1 (\xi, \eta; 1, \beta k) + V_1 (\eta, \xi; 1, \beta k) \end{aligned}$$

$$+ V_r(\frac{1}{2} - \xi, \frac{1}{2} - \eta; 1, \beta k) - V_r(\frac{1}{2} - \eta, \frac{1}{2} - \xi; 1, \beta k)$$
(34)

(33) 式と (34) 式との差より

$$\begin{aligned} & \Delta V_r(\xi + \eta, -\xi + \eta; 1, \alpha \beta k) - \Delta V_r(-\xi + \eta, \xi + \eta; 1, \alpha \beta k) \\ &= \Delta V_r(\xi, \eta; 1, \beta k) - \Delta V_r(\frac{1}{2} - \xi, \frac{1}{2} - \eta; 1, \beta k); \end{aligned}$$
(35)

上式を書き換えるれば

$$\begin{aligned} & V_r(\xi, \eta; 1, \beta k) - V_r(\eta, \xi; 1, \beta k) \\ &= V_r(\frac{\xi + \eta}{2}, \frac{\xi - \eta}{2}; 1, \frac{\beta k}{2}) - V_r(\frac{1 - \xi + \eta}{2}, \frac{1 - \xi - \eta}{2}; 1, \frac{\beta k}{2}) \end{aligned}$$
(36)

同様にして (33) 式と (34) 式との和より

$$\begin{aligned} & V_r(\xi, \eta; 1, \beta k) + V_r(\eta, \xi; 1, \beta k) \\ &= V_r(\frac{\xi + \eta}{2}, \frac{\xi - \eta}{2}; 1, \frac{\beta k}{2}) \\ &\quad - V_r(\frac{1 - \xi - \eta}{2}, \frac{1 - \xi + \eta}{2}; 1, \frac{\beta k}{2}) \quad \cdots \cdots \quad (37) \end{aligned}$$

$V_\theta$  および  $V_n$  の場合についても同様な式を導くことができる。  
これらの式を併せて示せば

$$\begin{aligned} & V_f(\xi, \eta; 1, \beta k) - (-1)^f (7, \xi; 1, \beta k) \\ &= V_n(\frac{\xi + \eta}{2}, \frac{\xi - \eta}{2}; 1, \frac{\beta k}{2}) \\ &\quad - V_n(\frac{1 - \xi - \eta}{2}, \frac{1 - \xi + \eta}{2}; 1, \frac{\beta k}{2}) \quad \cdots \cdots \quad (38) \\ & V_f(\xi, \eta; 1, \beta k) + (-1)^f (7, \xi; 1, \beta k) \\ &= -(-1)^n V_n(\frac{\xi - \eta}{2}, \frac{\xi + \eta}{2}; 1, \frac{\beta k}{2}) \\ &\quad + (-1)^n V_n(\frac{1 - \xi + \eta}{2}, \frac{1 - \xi - \eta}{2}; 1, \frac{\beta k}{2}) \quad \cdots \cdots \quad (39) \end{aligned}$$

REU  $f = 1$  のとき  $n = 1$ ,  
 $f = 2$  :  $n = 3$ ,  $\left\{ \cdots \cdots \quad (40) \quad \text{とする。}\right.$   
 $f = 3$  :  $n = \omega$ .